

졸-겔法에 依한 $\text{Al}_2\text{O}_3 \cdot 2\text{SiO}_2$ 유리의 製造

李 銓 · 池應業* · 曹凍洙

仁荷大學校 工科大學 無機材料工學科

*亞洲大學校 工科大學 化學工學科

(1982年 12月 20日接受)

Preparation of $\text{Al}_2\text{O}_3 \cdot 2\text{SiO}_2$ glass by the sol-gel process

Jhun Rhee, Ung-Up Chi* and Dong-Soo Jo

Dept. of Ceramic Eng., Inha Univ.

*Dept. of Chemical Eng., Ajou Univ.

(Received Dec. 20, 1982)

ABSTRACT

In the present study an attempt was made to synthesize the $\text{Al}_2\text{O}_3 \cdot 2\text{SiO}_2$ glass in which atomic ratio is Al:Si = 1:1 by the sol-gel process. And at such a low temperature as 550°C clear amorphous gel derived glass with Si-O-Al bonding was obtained. $\text{Si}(\text{OC}_2\text{H}_5)_4$ and $\text{Al}(\text{NO}_3)_3 \cdot 9\text{H}_2\text{O}$ were used as the precursor and among the mutual solvents only n-butanol gave good results for the synthesis of the gel derived glass. Partial hydrolysis of TEOS with one-fold mol of H_2O prior to the reaction with aluminum nitrate gave the better results. Total oxide content to the total reactants by weight was affective to the results.

1. 緒論

Dislich¹⁾는 졸-겔法에 依한 酸化物유리의 製造에 關한 歷史的 發展과 그 原理에 對하여 論及하였으며 Dislich²⁾의 研究以後에 이 方法은 많은 關心을 불러일으켰다. 그리하여 最近에 이르러서 이에 對한 해부報文^{3~8)}도 많으며, 特別論題會議⁹⁾ 또는 國際的인 워크샵¹⁰⁾도 열린 바 있다.

졸-겔法에서는 出發物質로서 金屬-有機化合物, 例로서 金屬알코올化物을 常溫 또는 相當히 낮은 溫度에서 溶液狀態로 混合하여 化學反應, 加水分解 및 多縮合시켜 酸化物 網目構造를 形成시킴으로써 유리를 製造하거나 또는 이 유리를 結晶화시킴으로써 結晶化유리를 製造하는 등의 試圖가 進行되고 있다.

이 方法에서는 成分을 分子의in 次元으로 混合하게 되므로 同一組成에 있어서 酸化物를 混合하고 熔融하여 유리를 製造하는 在來式方法보다 反應物은 相當히 낮은 溫度에서 熔融되어 透明한 유리가 되거나 繁密하-

게 鏡結되어 透明한 유리體가 되며 均質度가 大端히 높은 材料가 된다.

따라서 이 方法은 高融點이거나 2相分離域을 갖는 成分 또는 組成이어서 유리化가 極히 困難하거나 不可能했던 유리를 製造하거나 高純度의 特殊유리를 製造하는 데 大端히 有益한 方法이다.

이 方法이 갖는 더 많은 長點에 對하여는 Mukherjee¹¹⁾ 및 Klein¹²⁾에 依하여 해부된 바 있으나 Mackenzie¹³⁾는 在來式 유리製法과 比較하여 많은 세로운 可能性을 論及한 바 있다.

$\text{Al}_2\text{O}_3 \cdot \text{SiO}_2$ 系¹⁴⁾는 高溫耐熱材料로서 重要하며 이系에서 最低液相溫度는 約 $5\text{Al}_2\text{O}_3 \cdot 95\text{SiO}_2$ 를 比에 該當하는 1,600°C이다. 이系에 關한 졸-겔法에 依한 研究로서는 Kamiya^{等15)}의 $30\text{Al}_2\text{O}_3 \cdot 70\text{SiO}_2$ 重量比 組成의 纖維製造에 關한 研究, Nogami^{等16)}의 $\text{Al}_2\text{O}_3 \cdot 4\text{SiO}_2$ 組成의 薄膜製造에 關한 研究等이 있다.

이들 研究에서는 SiO_2 로서는 $\text{Si}(\text{OC}_2\text{H}_5)_4$ (TEOS, tetraethyl ortho silicate)를 Al_2O_3 로서는 $\text{Al}(\text{O}-\text{iso}-\text{C}_8\text{H}_7)_3$

또는 $\text{Al}(\text{O}-\text{sec-C}_4\text{H}_9)_3$ 를 出發物質로 使用했는데 아직까지 製造條件을 體系的으로 追究한 試圖는 볼 수 없다.

本研究에서는 SiO_2 의 出發物質로서는 他研究와 同一하게 $\text{Si}(\text{OC}_2\text{H}_5)_4$ 를 使用하고 Al_2O_3 의 出發物質로서는 $\text{Al}(\text{NO}_3)_3 \cdot 9\text{H}_2\text{O}$ 를 使用하였으며, SiO_2 와 Al_2O_3 의 組成에 있어서는 原子比가 $\text{Al}:\text{Si}=1:1$ 인 $\text{Al}_2\text{O}_3 \cdot 2\text{SiO}_2$ 組成을 指하여 졸-겔法에 依한 유리製造의 最適條件를 追究하였다.

2. 實驗 및 結果

졸-겔法에 依한 유리製造에 있어서 影響을 미치는 因子들은 溶媒의 種類, 反應物의 濃度, 反應溫度와 時

間, 加水分解方法 및 使用하는 H_2O 의 量, 觸媒의 種類와 量, 極化溫度, 겔의 精燥方法, 겔-유리間 轉移에 있어서의 熱處理條件等을 들 수 있다.

本研究에서는 이들 많은 影響因子들 中에서 우선 溶媒의 선택, 加水分解方法 및 所要 H_2O 의 量에 대하여 重點的으로 追究하였다. 이에 따라 溶媒의 선택을 위한豫備實驗을 먼저 實施하였다.

i)豫備實驗의 目的是 出發物質인 $\text{Si}(\text{OC}_2\text{H}_5)_4$ 와 $\text{Al}(\text{NO}_3)_3 \cdot 9\text{H}_2\text{O}$ 및 反應中間生成物과 加水分解 中間生成物를 다같이 溶解하여 安定한 졸을 거쳐 겔을 形成할 수 있는 相互溶媒(mutual solvent)를 찾기 위함 것이다.

다음단계로서는 이러한豫備實驗을 通하여 선택된

Table 1. Starting solutions for the preparation of $\text{Al}_2\text{O}_3 \cdot 2\text{SiO}_2$ sol-gel glass.

Solution A ₁	$\text{Si}(\text{OC}_2\text{H}_5)_4$	4.386g(0.02mole)	+	MeOH	3.845g(0.02×6 mole)
A ₂	"	"	+	EtOH	5.528g(")
A ₃	"	"	+	n-PrOH	7.212g(")
A ₄	"	"	+	i-PrOH	7.212g(")
A ₅	"	"	+	n-BuOH	8.894g(")
Solution B ₁	$\text{Al}(\text{NO}_3)_3 \cdot 9\text{H}_2\text{O}$	7.503g(0.02mole)	+	MeOH	3.845g(0.02×6 mole)
B ₂	"	"	+	EtOH	5.528g(")
B ₃	"	"	+	n-PrOH	7.813g(0.02×6.5mole)
B ₄	"	"	+	i-PrOH	9.616g(0.02×8mole)
B ₅	"	"	+	n-BuOH	10.377g(0.02×7mole)

Table 2. Preliminary test for the preparation of $\text{Al}_2\text{O}_3 \cdot 2\text{SiO}_2$ sol-gel glass.

Test number	Mix ing	Observation							
		Gelation				Drying		Gel derived glass	
		Time for gelation (hr)		Appearance	After 10 days				
		60°C	80°C		60°C	80°C			
		Test tube	Beaker		Test tube	Beaker			
		Test tube	Beaker		Test tube	Beaker			
A ₁ B ₁	good	19	12	3	3	clear	c	c	porous
A ₂ B ₂	"	21	12	3	3	"	c	c	"
A ₃ B ₃	"	23	21	3	3	"	nc	c	opaque
A ₄ B ₄	"	15	13	1.5	1.5	"	c	c	porous
A ₅ B ₅	"	21	21	2	2	"	nc	c	transparent

c: Completely dried

nc: Not completely dried

相互溶媒를 使用하여 安定하고 透明한 줄과 젤을 얻는
最良條件 즉 加水分解方法, 所要 H_2O 量 및 總酸化物
濃度 등을追究하였다.

2.1. 材料

SiO_2 源으로는 $\text{Si}(\text{OC}_2\text{H}_5)_4$ (TEOS)를 Al_2O_3 源으로
는 $\text{Al}(\text{NO}_3)_3 \cdot 9\text{H}_2\text{O}$ 를, 溶媒로서는 CH_3OH , $\text{C}_2\text{H}_5\text{OH}$,
 $n\text{-C}_3\text{H}_7\text{OH}$, $i\text{-C}_3\text{H}_7\text{OH}$ 및 $n\text{-C}_4\text{H}_9\text{OH}$ 의 5種 알코올을
그리고 鍔媒로서는 HCl 을 使用하였는데 모두 特級試藥
의 것을 使用하였다. 加水分解反應에 쓴 H_2O 는 蒸溜
水를 이온交換한 다음 再蒸溜하였다.

2.2.豫備實驗

Table 1과 같이 5種의 알코올을 택하여 각각 6倍물
量으로 TEOS를 溶解시켜 $A_1 \sim A_5$ 의 TEOS의 5個 알
코올溶液을 만들고 $\text{Al}(\text{NO}_3)_3 \cdot 9\text{H}_2\text{O}$ 도 같은 종류의 알
코올을 그 溶解度에 따라 6~7倍물量으로 써서 solution
을 만들었다. 調製된 A-系列의 solution과 B-系列의 溶
液을 同種알코올溶液끼리 混合하여 일어나는 一連의
加水分解 및 總合反應 그리고 줄 및 젤의 形成反應을
觀察하였다. 이에 混合反應液을 內徑 1cm의 試驗管에
5cm의 높이로 각각 떨어 넣어 PE 필름으로 密封하고 줄
및 젤화시켰으며 이것을 乾燥한다음 1°C/min로 1,000
°C까지 热處理하여 유리化現象을 觀察하였는데 그
結果는 Table 2와 같다. 이豫備實驗에서 젤形成反
應을 보면 5種의 알코올에서 다같이 透明한 좋은 結

實驗 方法	混合一反應方法	酸化物濃度
1	TEOS-n-BuOH溶液을 獨立의으로 部分加水分解시킨 후에 이에 $\text{Al}(\text{NO}_3)_3 \cdot 9\text{H}_2\text{O}-n\text{-BuOH}$ 溶液을徐 徐加入混合하고 그다음 完全加水 分解시킴.	一定하게 維持함.
2	위와 같음.	變化시킴.
3	TEOS-n-BuOH溶液을 獨立의으로 加水分解시키지 않고 바로 $\text{Al}(\text{NO}_3)_3$ $\cdot 9\text{H}_2\text{O}-n\text{-BuOH}$ 溶液을徐徐加入 混合한 다음 完全加水分解시킴.	一定하게 維持함.
4	위와 같음.	變化시킴.

註1. 實驗方法 1, 2...Yoldas方法¹⁷⁾,

3, 4...Sakka方法⁴⁾

2. 酸化物濃度 = 總酸化物($\text{SiO}_2 + \text{Al}_2\text{O}_3$)의 量(g)
/最終反應液 100g

果를 나타내었는데 乾燥過程 및 热處理를 거쳐 얻은
겔유리에서는 n-BuOH溶液에서만 透明한 結果를 얻을
수 있었다. 따라서 本研究에서는 相互溶媒로서
n-BuOH을 선정하였다.

2.3. 젤의 製造

本研究에서 다른 두 成分의 줄-겔化反應에서 큰 影

Table 3. Preparation of gels for the $\text{Al}_2\text{O}_3 \cdot 2\text{SiO}_2$ sol-gel glass, I.

Experiment number	Wt. of solvent	Total H_2O (mole)	Oxide content (g/g)	Gelation time (min)		Apperance after 10 days drying		
				90°C	80°C	80°C(90°C)	80°C(80°C)	70°C(90°C)
1-1	($\times 6\text{mol}$) + (α ; 51.55g)	10.0	5.06/100	160	180	+++	+++	++
1-2	($\times 6\text{mol}$) + (α ; 47.54g)	15.0	5.06/100	140	160	++	++	++
1-3	($\times 6\text{mol}$) + (α ; 43.44g)	20.0	5.06/100	110	130	++	+++	++
2-1	($\times 12\text{mol}$) + (α ; 31.26g)	10.0	5.06/100	80	120	+++	++++	++
2-2	($\times 12\text{mol}$) + (α ; 27.25g)	15.0	5.06/100	60	90	++ X	++ X	++ X
2-3	($\times 12\text{mol}$) + (α ; 23.15g)	20.0	5.06/100	50	70	+++ XX	++ XX	++ XX

1st stage: 10.000g of TEOS is dissolved in 6-fold and in 12-fold mol of n-BuOH against TEOS, then partially hydrolyzed by 1-fold mol of H_2O with 0.01 mol % of HCl.

2nd stage: 17.339g of $\text{Al}(\text{NO}_3)_3 \cdot 9\text{H}_2\text{O}$ is dissolved in (α)g of n-BuOH.

3rd stage: The solution of 2nd stage is mixed with the solution of 1st stage, then allowed to react.

4th stage: The hydrolysis is completed with additional H_2O .

+++ : Mostly good ++ : Fairly good + : Good

X : Some white precipitation XX : Much white precipitation

Table 4. Preparation of gels for the $\text{Al}_2\text{O}_3\cdot 2\text{SiO}_2$ sol-gel glass, II.

Experiment number	Wt. of solvent	Total H_2O (mole)	Oxide content (g/g)	Gelation time (min)		Appearance after 10 days drying		
				90°C	80°C	80°C(90°C)	80°C(80°C)	70°C(90°C)
3-1	× 6 mol	10.0	5.06/47.63	100	120	++	+++	+
3-2	× 6 mol	15.0	5.06/52.45	70	100	++	++	+
3-3	× 6 mol	20.0	5.06/56.54	50	70	-	-	-
4-1	× 12 mol	10.0	5.06/68.74	90	100	+++	++	+
4-2	× 12 mol	15.0	5.06/72.74	80	90	+++ ×	++ ×	- ×
4-3	× 12 mol	20.0	5.06/76.85	60	80	+ ××	+ ××	- ××

1st stage: Same as the 1st stage in Table 3

2nd stage: 17.339 g of $\text{Al}(\text{NO}_3)_3\cdot 9\text{H}_2\text{O}$ is dissolved in the solution of the 1st stage, then allowed to react.3rd stage: The hydrolysis is completed with additional H_2O .

+++; ++: Same as in Table 3. +: poor

-: Bad,

×; ××: Same as in Table 3.

響을 미친다고 생각되는 여티因子들中에서 각成分의 加水分解速度와 酸化物의 濃度에 의한 影響을 관찰하기 위하여 다음과 같은 4가지 實驗計劃을 세웠다.

첫째 實驗에서는 TEOS 10.000g을 6倍물量 및 12倍물量의 n-BuOH에 溶解시킨 두가지 알코올溶液을 만든 다음 각각에 1倍물量의 H_2O 를 徐徐히 添加하고 60°C에서 2時間攪拌하여 獨立의으로部分加水分解시켰다. 이때 觸媒로서는 0.05N-HCl 約 0.01mol%를 添加하였다.

이와같이 獨立의으로部分加水分解시킨 TEOS-n-BuOH溶液이 $\text{Al}(\text{NO}_3)_3\cdot 9\text{H}_2\text{O}-n\text{-BuOH}$ 溶液을 加入混合하여 60°C에서 2時間反應시켰다. 이때混合한 $\text{Al}(\text{NO}_3)_3\cdot 9\text{H}_2\text{O}-n\text{-BuOH}$ 溶液은 $\text{Al}(\text{NO}_3)_3\cdot 9\text{H}_2\text{O}$ 는 TEOS와 률比가 같은 量인 17.339g로維持하고 단지 n-BuOH의 量을 總酸化物($\text{Al}_2\text{O}_3+\text{SiO}_2$)의濃度가 항상一定하게維持되도록 하기 위하여 α -量을 Table 3과 같이變化添加하여 만들었다. 또한 위의混合反應solution을 完全加水分解시켜서 좋은結果를 얻는데 所要되는 H_2O 의 量을 決定하기 위하여 總添加 H_2O 의 量을 10.0, 15.0 및 20.0倍물量으로變化시켜 實驗하였다. 이때 完全加水分解實驗은 60°C에서 2時間反應시켰다. 이 첫째 實驗의 結果는 Table 3에 總括하였다.

둘째 實驗은部分加水分解시킨 TEOS의 n-BuOH溶液에 所定量의 $\text{Al}(\text{NO}_3)_3\cdot 9\text{H}_2\text{O}$ 를 固體로 넣어 溶解 및 反應시킨點과 酸化物濃度를一定하게維持하지 않은點만이 첫째 實驗과 相異하며, 다른 모든 實驗條件

은同一하다. 그 結果는 Table 4에 總括하였다.

셋째 實驗은 앞서 說明한 實驗計劃의 實驗方法 3 및 4에 해당하는 것이다. 여기서는 TEOS-n-BuOH溶液을 獨立의으로部分加水分解시키지 않고 $\text{Al}(\text{NO}_3)_3\cdot 9\text{H}_2\text{O}-n\text{-BuOH}$ 溶液과 바로混合反應시켜서 그 結果를 觀察하였다. 이때 總酸化物의濃度는一定하게維持한 경우와變化시킨 경우의 두가지로 나누어 實驗하였다. 이 셋째 實驗으로부터 얻은 젤 및 젤유리는 白濁現象 및 乾燥過程의 龟裂現象 등으로 그 狀態가 좋지 않았다.

첫째, 둘째 및 셋째 實驗에서 얻은 마지막反應液들은 모두透明하였으며容器內面에 실리콘그리스를 얇게 바른 100ml 빌리카에 높이 2cm 정도가 되게 팥아 넣고 PE필름으로密封하여 90°C 또는 80°C에서 각각 절화시켜서 얻은 젤도 역시透明하였다. 다만 젤은密封한 PE필름에 바늘구멍의 敷를增加시켜가면서 乾燥시켰다. 80°C 및 70°C에서 乾燥된 젤은若干褐色을 帶透明體로 10×7mm程度의 小片으로 갈라지는 現象을 나타내었다. 結果가比較的 좋지 않은 경우에는反應液이若干白濁을 띠거나 절화된 뒤에도若干白濁되었으며甚한 것은乾燥된 젤에서部分의白色粉末現象을 볼 수 있었다. 80°C 절화-80°C 乾燥(80°C(80°C)로 表示)의 경우가一般的으로 보다 좋은 結果를 나타내는 傾向이 있다.

둘째 및 셋째 實驗結果는 첫째結果 보다는 良好하지 못하였으며 本研究에서 週完한 實驗條件範圍內에서는

Table 3의 첫 번째 실험의 n-BuOH 6배 량 조건에서 가장 좋은 젤을 얻을 수 있었다.

反應物濃度의 影響을 다시 檢討하기 위하여 最適條件으로 判斷된 Table 3의 1-1 實驗條件에서 總酸化物濃度를 4.05g/100g 및 6.00g/100g로 變化시켜 그 結果를 5.06g/100g의 實驗結果와 比較하였는데 그 結果濃度가 커지면 젠화에 所要되는 時間이 짧아졌고濃度가 작아지면 길어졌으며(約 9時間), 4.05g/100g濃度에서 90°C 젠화—80°C乾燥의 條件下에서 보다 큰 영어리($10 \times 10\text{mm}$)의 젤을 얻을 수 있었다.

2.4. 젤의 特性 및 젤—유리間 轉移

젤의 乾燥條件과 젤—유리間 轉移條件를 簡明하기 위하여 80°C에서 充分히 乾燥시킨 젤 및 117°C(n-BuOH의 b.p.)에서 乾燥시킨 젤의 두 가지 試片을 젤의 特性調査用試料로 삼았으며, 乾燥 절을 15°C/hr로 1,450°C까지 热處理하여 얻은 유리를 젤—유리間의 轉移現象調査를 위한 試料로 삼았다.

2.4.1. 젤의 热分析

乾燥 젤의 热分析結果는 Fig. 1 및 Fig. 2와 같다. 表

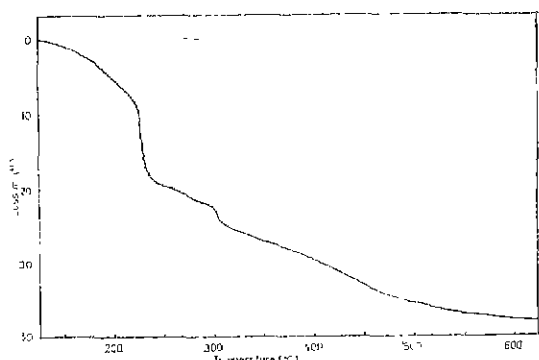


Fig. 2. TGA curve of the gel dried at 117°C corresponding to the $\text{Al}_2\text{O}_3 \cdot 2\text{SiO}_2$ glass.

에는 Du Pont Thermal Analyzer 900을 使用했으며 DTA에서는 試料 50mg을, TGA에서는 試料 20mg을 각각 10°C/min의 加熱速度로 停滯氮氣에서 分析하였다.

2.4.2. 젤의 赤外線 分光分析

乾燥된 젤을 여러 温度로 热處理하여 赤外線 分光分析한 結果는 Fig. 3 및 4와 같다. 이 結果의 解析을 풀기 위하여 乾燥 젤, 젤轉移유리, TEOS 및 $\text{Al}(\text{NO}_3)_3 \cdot 9\text{H}_2\text{O}$ 를 脱水乾燥(105°C)시킨 試料들에 대한 赤外線

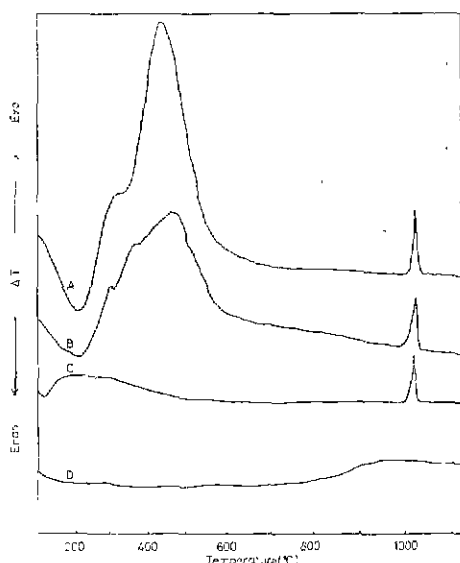


Fig. 1. DTA curves of gels and gel derived glasses corresponding to the $\text{Al}_2\text{O}_3 \cdot 2\text{SiO}_2$ composition.

A: Gel, dried at 80°C

B: Gel, dried at 117°C

C: Glass, gel derived, heat treated to 600°C

D: Glass, gel derived, heat treated to 1,050°C

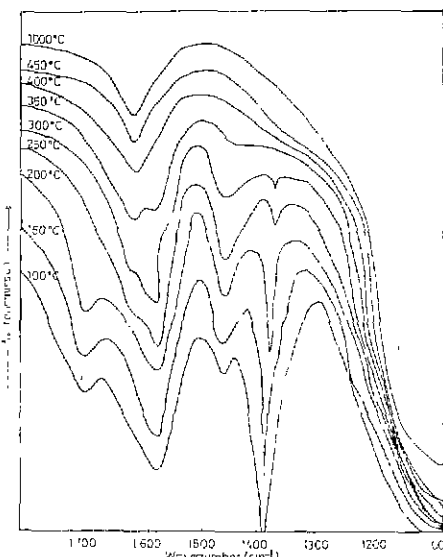


Fig. 3. Infrared transmission spectra of heat treated gels corresponding to the $\text{Al}_2\text{O}_3 \cdot 2\text{SiO}_2$ glass, I.

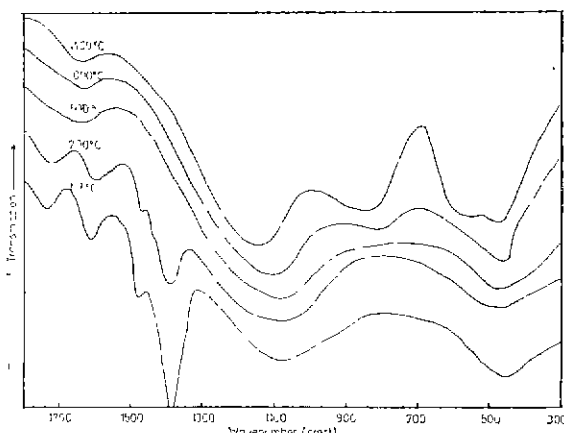


Fig. 4. Infrared transmission spectra of heat treated gels corresponding to the $\text{Al}_2\text{O}_3 \cdot 2\text{SiO}_3$ glass, II.

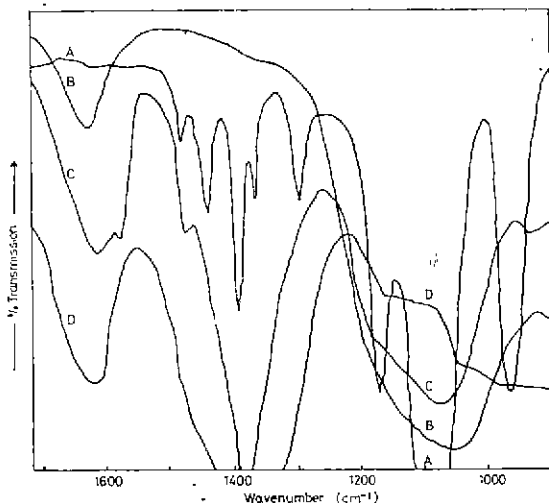


Fig. 5. Infrared transmission spectra for the analysis of the obtained gel and the gel derived glass corresponding to the $\text{Al}_2\text{O}_3 \cdot 2\text{SiO}_3$ composition.
A: TEOS
B: Glass, gel derived, heat treated to 1,000°C
C: Gel, dried at 117°C
D: $\text{Al}(\text{NO}_3)_3$

分光分析結果를 別途로 Fig. 5에 실었다. 固體는 KBr 法에 依하였고 液體는 液體セル을 使用하였으며 裝置는 Perkin Elmer 521 I.R. Spectrophotometer 이었다.

2.4.3. 젤-유리間 轉移

117°C에서 乾燥한 젤을 더 以上 小片으로 갈라지지 않게 하면서 유리狀態로 轉移시키는 條件을 癖明하기 위하여 热處理條件를 바꾸어 가면서 實驗하였다. 우선 乾燥된 젤을 粘土質보우트위에 1列로 올려놓고 勾配爐內에서 120~290°C 사이의 溫度勾配를 주어 24時間 加熱하였다. 그結果 170~240°C 사이의 部分에서 黑化現象이 나타났으며 215°C部分에서 가장 이 現象이 甚했다. 이것을 그대로 氮氣爐에서 500°C로 均一하게 12時間 加熱한 結果 全部分이 透明體로 되었다. 다만 이에 小片으로 갈라지는 傾向이 있었으므로 이것을 防止하기 위하여 热分析, 赤外線 分光分析 및 勾配爐實驗한 結果를 総合하여 室溫~250°C 사이에서는 15°C/hr로 徐熱하였으며 그後는 600°C까지 30°C/hr로, 1,450°C까지는 60°C/hr로 加熱速度를 높여서 實驗하였다. 이렇게 하여 10×10mm程度 크기의 完全 透明體를 얻을 수 있었다. 實驗條件은 原子比로 Si: Al=1:1, 률比로 $\text{SiO}_2: \text{Al}_2\text{O}_3=2:1$, 重畳百分比로 $\text{SiO}_2: \text{Al}_2\text{O}_3=54.10: 45.90$ 이었으나 原料의 秤量誤差 및 分析誤差에 起因하여 얻어진 젤유리의 分析結果는 原重量百分比의 ±0.4%이었다.

2.4.4. 젤유리의 特性

最終的으로 얻은 完全 透明體를 試料로 하여 그 特性을 調査하기 위한 DTA結果는 Fig. 1에, 赤外線 分光分析結果는 Fig. 3에 같이 나타내었다. 또한 X-線 Cu-K α (Ni-filter)에 依한 回折分析의 結果를 Fig. 6에 나타내었다.

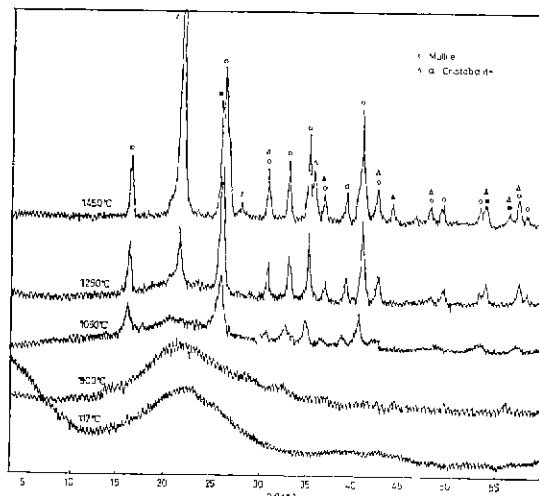


Fig. 6. X-ray diffraction patterns of the dried gel and heat treated gels.

3. 考 察

3.1. 豫備實驗

TEOS 및 $\text{Al}(\text{NO}_3)_3 \cdot 9\text{H}_2\text{O}$ 를 출발물질로 한 $\text{SiO}_2 \cdot \text{Al}_2\text{O}_3$ 2成系 콜-겔유리의 제조에 있어서 MeOH, EtOH, n-PrOH, i-ProOH 및 n-BuOH은 모두相互溶媒로서 사용할 수 있었으며豫備實驗에서 모두透明한 젤을 얻을 수 있었다.

그러나, 겔-유리間轉移過程을 거쳐서 얻은 最終 겔유리에 있어서는 n-BuOH을溶媒로 사용한 경우에만 氣孔이 없는 가장 좋은結果를 얻을 수 있었다. 겔-유리間轉移過程에서는溶媒成分의揮發, 緊合反應, 生成物의逸散 및 體積減縮등이 일어나고 그結果氣孔이生成되며 이氣孔이 유리體內에一部 남는 경우와 전혀 남아있지 않는 두 경우가 있다.

따라서 콜-겔法에 依한 유리의 제조에 있어서는溶媒의選擇이 대단히重要한 것이다.溶媒의分子量에 따라變하는蒸氣壓은加水分解, 緊合, 硅化 및 겔-유리間轉移反應의 安定度에 큰影響을 미치게 되고 또한 겔의乾燥收縮 및 燒結收縮過程에서 등반되는毛細管壓力과도 깊은關係가 있는 것으로 생각된다.本研究에서는 이러한相互溶媒의特性들과毛細管壓力들이 콜-겔유리製造過程에 미치는影響에 대하여肉眼에 의한定性的인結果만을觀察하였으며定量的인光明은 하지 못하였다.

3.2. 겔의製造

콜-겔法에 依한 유리의 제조에 있어서 最終生成物인 겔유리의 物性에 미치는因子가 大端히 많아反應機構의 究明 및 動力學의 研究는 몇몇 研究에서始作段階에 있는데 本研究에서도 反應의 渦度와 時間條件에 대해서는 實驗을 하지 못하고 主로 反應物의濃度因子와加水分解 및 緊合反應의條件를 달리하는範圍內에서 콜-겔화 및 겔-유리間轉移의 最適條件를究明하기 위하여 實驗을 하였다. 그結果를 考察하면 다음과 같다.

3.2.1. 濃度因子

本研究에서 Si:Al의 比를 항상 1:1로維持하고 모든 實驗을 수행하는데 출발물질의濃度 및 加水分解에 所要되는總 H_2O 量의影響을觀察하기 위하여 第一次의으로總酸化物濃度를 5.06g/100g으로固定해 놓고 출발물질인 TEOS의 n-BuOH에 대한稀釋度를 1/6 및 1/12를 比의 두 가지 경우에 대하여 H_2O 의添加總量를 각각 10.0, 15.0 및 20.0를量의 세 가지로變化시켜 實驗하였다. 따라서 $\text{Al}(\text{NO}_3)_3 \cdot 9\text{H}_2\text{O}$ 의 n-BuOH溶

液의濃度는 세 가지로變化하는結果가 되었다. 이와같이 출발물질의濃度 및 所要總 H_2O 量의影響을究明한 實驗結果는 Table 3에總括하였으며 Table 3에서 볼 수 있는 바와같이 1-1條件에서 가장 좋은結果를 나타내었는데 이는 출발물질인 TEOS는 보다 전하고 $\text{Al}(\text{NO}_3)_3 \cdot 9\text{H}_2\text{O}$ 는 보다 晚은條件下에서 그리고完全加水分解를 위한 H_2O 의總添加量이 10.0倍를일 때 좋은結果를 얻을 수 있다는것을示唆하고 있다. 그리고第二次의으로總酸化物濃度의 영향을 보기위하여 그濃度를 6.58g/100g~10.62g/100g으로變化시켜서 實驗한結果(Table 4)와 Table 3의 1-1實驗條件에서總酸化濃度를 4.05g/100g와 6.00g/100g로 하여 實驗한結果로부터總酸化物의濃度도 그結果에 큰 영향을 미침을 알 수 있었다.

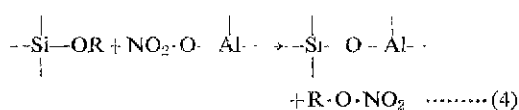
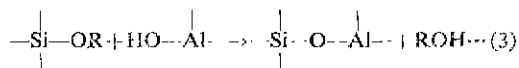
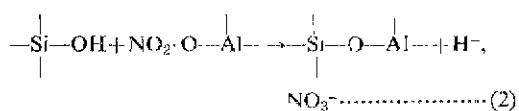
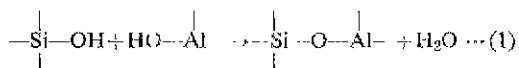
3.2.2. 加水分解反應條件 및 所要 H_2O 量

콜-겔法에 依한 유리의 제조에 있어서 加水分解 및 緊合反應에 미치는因子는 너무도 많아 他研究者の경우에 있어서는 그機構의究明은推定을免치 못하고 있는實情이다.本研究에서도代表적인 두 가지方法에 따라 實驗하여, 두反應物을 바로混合反應시킨 경우(2.3.項의 셋째 實驗)⁴⁾에서보다加水分解速度가 느린TEOS를 먼저部分加水分解시킨 다음 여기에加水分解速度가빠른 다른化學種을 넣어反應시켜야 한다는Yoldas¹⁷⁾의理論과方法에 따른 경우(2.3.項의 첫째 및 둘째 實驗)에서 더 좋은結果를 얻었다는事實로부터本實驗도 Yoldas가提示한條件이適應되는 경우라는것을 알 수 있었다. 또한 TEOS를事前部分加水分解시키는데所要되는 H_2O 의量에 있어서는 TEOS에대하여 2倍量 또는 그以上量의 H_2O 로部分加水分解시킨結果는相對적으로 좋지 않았고結局 TEOS의完全加水分解에所要되는理論量의 1/4에該當하는 1倍量의 H_2O 로部分加水分解시킨結果가 가장 좋았다. 즉 TEOS-n-BuOH溶液을部分加水分解시킨 다음 $\text{Al}(\text{NO}_3)_3 \cdot 9\text{H}_2\text{O}$ -n-BuOH溶液을加入하여混合反應시키고完全加水分解를 위한 물을追加함으로써加水分解 및 緊合等의反應을 일으켜安定하고透明한 콜과 겔을얻고 이어서加熱에依한多縮合反應으로겔을유리로轉移시켜透明한無晶質體를가장좋게얻었는데이때所要되는 H_2O 量은 $\text{Al}(\text{NO}_3)_3 \cdot 9\text{H}_2\text{O}$ 내에包含되어있는結晶水 $9\text{H}_2\text{O}$ 만으로充分하였으며그以上的量에서는結果가 좋지 않았다.

3.2.3. 反應機構 모델

事前에部分加水分解시킨 TEOS-n-BuOH溶液과 $\text{Al}(\text{NO}_3)_3 \cdot 9\text{H}_2\text{O}$ -n-BuOHsolution을混合하였을 때 일어

나는反應의 反應機構로서는 다음 네 가지 反應이 理論的으로 可能하다.



여기서 R: C_2H_5^- 또는 $n\text{-C}_4\text{H}_9^-$

즉 TEOS의 加水分解種 및 $\text{Al}(\text{NO}_3)_3 \cdot 9\text{H}_2\text{O}$ 의 加水分解種이 또는 이들의 加水分解하지 않은 化學種이 復雜한 內容의 反應을 나름대로 일으켜 Al이 部分의으로 Si-O-Al結合을 安定하게 이득할 때 ゲル유리로서 좋은 結果를 나타내는 것으로 推定할 수 있었다.

3.3. ゲル의 特性 및 ゲル유리間 轉移

乾燥된 ゲル을 热處理하여 유리로 轉移시키는 過程을 살펴보면 다음의 몇 段階로 나누어 考察할 수 있다.

우선, 溶媒 및 H_2O 가 撥發되면서 重量減少, 부피縮小 및 初期縮合이 일어나는데 本 實驗에서 製造한 ゲル에서는 DTA 및 TGA 그리고 赤外線 分光分析結果로부터 (Fig. 1, 2 및 3) 이 變化가 230~240°C에서 完結됨을 알 수 있었다. 이때 80°C 乾燥狀態에서 鎚은 褐色을 띠며 117°C($n\text{-BuOH}$ 의 b.p.) 또는 그 以上에서도 褐色은 그대로 친하게 남는 대 이는 有機物의 NO_3^- 基에 依한 初期酸化現象으로 推定된다. 다음에는 初期縮合에 이어 多縮合이 일어나 最終緻密化로 反應이 進行된다. 이때 일어나는 現象들은 反應機構모델 (1)~(4)에서 그 反應의 難易度에 따라 順次的 또는 同時的으로 일어나는 結果이며 初期縮合 및 多縮合反應에 依하여生成되는 撥發物質에 依한 減量이 550°C에 이르러 거의 完結되는데 이때 氧化해 나가는 物質인 有機基와 NO_3^- 基의 共存下에서 酸化反應은 쉽게 일어날 수 있을 것이므로 이를 反應이 매우 낮은 溫度에서도 거의 完結되는 것으로 推定된다. ゲル의 DTA曲線 (Fig. 1) 및 TGA曲線 (Fig. 2)을 보면 200°C附近에서 吸熱피크, 300~470°C 사이에서 發熱피크 및 1,050°C附近에서 鋒利한 發熱피크등이 나타났다. ゲル을 加熱할 때 생각할 수 있는 反應들은 溶媒 및 自由水의 蒸發, 有機基의 酸化, 有機基酸化生成物의 逸散, 緊合反應物

의 生成, 緊合生産物의 逸散 및 酸化物間의 固體反應 등을 들 수 있다. DTA曲線에서 200°C附近의 吸熱피크는 溶媒 및 自由水의 蒸發피크이며 300~470°C 사이의 幅넓은 發熱피크는 有機基의 酸化 및 生成酸化物 ($\text{H}_2\text{O}, \text{CO}, \text{CO}_2$ 등)의 逸散, 緊合反應物의 生成 및 그 逸散等의 發熱 및 吸熱反應등이 複合의으로 일어난 結果로 解析된다. 그리고 1,050°C附近의 發熱피크는 Si-O-Al間의 結合強化 및 세로운 複合酸化物의 生成反應에 依한 것이라 推定된다.

以上의 모든 現象들을 赤外線 分光分析結果로써 解析하여 보면 다음과 같다. Fig. 3에서 나타난 1,700cm⁻¹에서의 吸收스펙트라는 250°C까지 热處理한 試料에서 消滅되었는데 이는 溶媒인 $n\text{-BuOH}$ 의 逸散에 依한 것으로서 Fig. 1에서 나타난 200°C附近에서 볼 수 있있던 溶媒揮發에 의한 DTA 피크와 잘一致한다. 다음 1,385cm⁻¹와 1,570cm⁻¹에서의 吸收스펙트라는 NO_3^- 基에 依한 것으로서 이것은 350°C로 热處理한 試料에서 消滅되었다. 또한 $\text{C}_2\text{H}_5\text{O}-$ 基 및 $n\text{-C}_4\text{H}_9\text{O}-$ 基의 吸收스펙트라는 각각 1,380cm⁻¹ 및 1,470cm⁻¹인데 이들은 역시 350°C에서 消滅되었다. 이상에서 觀察한 現象들은 앞서 DTA曲線에서 볼 수 있었던 300~470°C 사이의 發熱피크에 대한 解析과 잘一致한다. 그 다음 出發物質인 TEOS 및 $\text{Al}(\text{NO}_3)_3$ (脫水) 그리고 製造된 ゲル 및 ゲル유리의 吸收스펙트라인 Fig. 5에서 보면 ゲル과 $\text{Al}(\text{NO}_3)_3$ 에서 다같이 나타난 1,600cm⁻¹附近에서의 吸收스펙트라는 TEOS에서는 나타나지 않았으나 ゲル유리 (1,000°C)에서는 나타났다. 그리고 Fig. 3의 1,620cm⁻¹에서의 吸收스펙트라는 低溫 ゲル의 鎚은 吸收帶로부터 热處理溫度 300°C에서 發達分離되었다가 400°C 以上에서는 單一피크로 되었고 1,450°C로 加熱한 ゲル유리에서까지 그대로 存在하였는데 이 두 實驗로부터 1,620cm⁻¹에서의 吸收피크는 Al-O結合의 發達에 依한 것으로 推定하였다. 그러나 Fig. 5에서 볼 수 있는 바와 같이 TEOS와 ゲル에 다같이 있었던 1,050~1,100cm⁻¹附近의 吸收스펙트라가 Nogami¹⁰⁾가 報告한 Si-O-Si 또는 Si-O-Al의 結合에 依한 1,050~1,150cm⁻¹附近의 吸收스펙트라와 같은 波長範圍內에 있었으므로 이 部分의 解析은 다음과 같이 하였다.

即 800 및 470cm⁻¹附近¹⁰⁾에서 Si-O-Si 結合의 또 다른 吸收스펙트라가 나타나는데 Fig. 4에서 보면 800cm⁻¹附近에서의 것은 ゲル에서는 나타나지 않았고 高溫으로 热處理된 ゲル유리에서 發達하기 시작하여 1,450°C로 處理되어 モライ트와 α -크리스토마라이트가 生成된 結晶化 ゲル유리에서는 뚜렷이 나타났으며, 470cm⁻¹에서의 것

은 젤, 셀유리 및 結晶化겔유리에서 다같이 나타나면서 高溫으로 갈수록 鋭利해지면서 高波數쪽으로 移行하였는데, 이런 現象을 Si-O-Al結合에 依한 吸收스펙트라가 $1,085\text{cm}^{-1}$, $805\sim 790\text{cm}^{-1}$ 에 있다고 한 報文¹⁹과 $\text{Al}_2\text{O}_3 \cdot \text{SiO}_2$ 2成分系유리에서의 吸收스펙트라가 $1,090\sim 1,050\text{cm}^{-1}$, $810\sim 808\text{cm}^{-1}$ 및 460cm^{-1} 에 있다고 한 報文²⁰을 引用하여 解析하면 젤 및 셀유리에서는 Si-O-Si結合이 優勢하며, 高溫으로 熱處理되어 安定한 構造로 移行됨에 따라 Si-O-Al의 4面體結合이 發達하며 儘分의 Al原子는 非架橋酸素와 結合하는 位置로 移行되는 것으로 推定할 수 있다.

글으로, DTA曲線에서 $1,050^\circ\text{C}$ 附近의 鋭利한 피이크는 젤과 셀유리에서 다같이 나타났으며 어떤 結晶의 生成을 가리키므로 $1,050^\circ\text{C}$ 以上의 渦度로 热處理한 젤유리를 X-線回折分析한結果 물라이트임이 同定되었으나 그 結晶의 發達은 充分치 못하였다. 117°C 로 乾燥한 젤과 900°C 로 热處理한 셀유리의 X-線回折分析結果에서 이들이 다같이 無晶形임을 알수 있었으며 이들을 比較하여 2θ 角이 15° 以下인 低角에서의 散亂피이크가 900°C 에서는 거의 없어진 것으로 보아 $1,000^\circ\text{C}$ 가까이까지 이 無晶形構造가持續되며 $1,000^\circ\text{C}$ 로 热處理된 젤유리에서는 構造가 매우 安定되어 있는 것으로 解析하였다. 또한 热處理한 젤유리의 X-線回折結果를 보면 물라이트結晶은 高溫으로 갈수록 더욱 發達하였으며, α -크리스토바라이트가 $1,250^\circ\text{C}$ 热處理試料에서 生成되기 시작하여 $1,450^\circ\text{C}$ 热處理試料에서 그沈澱이 크게增加했는데 이는 물라이트($3\text{Al}_2\text{O}_3 \cdot 2\text{SiO}_2$)의 發達에 따라 젤유리($\text{Al}_2\text{O}_3 \cdot 2\text{SiO}_2$ 組成)의組成에變化가 생기고 이에 따라 增量하는 無晶質 SiO_2 基質에서 α -크리스토바라이트가 生成 發達한 것으로 解析된다.

4. 結論

本研究에서는 SiO_2 源으로서 $\text{Si}(\text{OC}_2\text{H}_5)_4$ 와 Al_2O_3 源으로서 $\text{Al}(\text{NO}_3)_3 \cdot 9\text{H}_2\text{O}$ 를 出發物質로 하여 低溫에서 $\text{Al}_2\text{O}_3 \cdot 2\text{SiO}_2$ 組成의 유리를 줄-겔法으로 製造하는 試圖를 하였으며, 그 最適條件를 追究하여 얻어진 結果는 다음과 같다.

1. 550°C 의 低溫에서 $\text{Al}_2\text{O}_3 \cdot 2\text{SiO}_2$ 組成의 無晶形 透明한 젤유리를 製造할 수 있었다.
2. 이 젤유리는 $1,000^\circ\text{C}$ 까지 유리構造로서 安定하였다.
3. 이때 直鎖狀 알코올이며 蒸氣壓이 낮은 n-BuOH을 相互溶媒로 하여서만 良好한 젤유리의 合成이 可能

하였다.

4. 먼저 $\text{Si}(\text{OC}_2\text{H}_5)_4$ 를 그의 6倍 몰量의 n-BuOH溶媒로 稀釋하고 1倍 몰量의 H_2O 로 60°C 에서 2時間部分加水分解시킨 뒤 終末反應物에 對한 純酸化物($\text{Al}_2\text{O}_3 + \text{SiO}_2$)의濃度를 4g/100g가 되도록 하는 量의 n-BuOH에 $\text{Al}(\text{NO}_3)_3 \cdot 9\text{H}_2\text{O}$ 를 溶解시켜 徐徐히 加入한 뒤 60°C 에서 2時間反應시키고 90°C 에서 젤화시켜 얻어진 젤을 80°C 에서 徐徐히 乾燥할 때에 가장 좋은 結果를 얻을 수 있었다.

5. 젤유리는 $1,050^\circ\text{C}$ 에서 물라이트를 生成하기 시작하였으며 $1,250^\circ\text{C}$ 에서 α -크리스토바라이트를 生成하기 시작하였다.

6. 本研究에서 다른組成으로 얻은 $\text{Al}_2\text{O}_3 \cdot 2\text{SiO}_2$ 젤유리에 대한 赤外線吸收스펙트라로부터 Al原子는 그一部가 유리의 網目構造를 形成하는 Si-O-Al結合 位置에 들어가고 다른一部는 非架橋酸素와 結合하는 Si-O…Al 位置를 차지하는 것으로 解析하였다.

後記 本研究는 1981年度 文教部의 學術研究助成費의 支援으로 이루어졌기에 謝意를 表하며, 分析 및 原稿整理에 勲苦가 많았던 朴美卿과 金正實에게 또한 感謝한다.

引用文獻

1. H. Dislich and P. Hinz, "History and principles of the sol-gel process, and some new multicomponent oxide coatings", *Jour. of Non-Crystalline Solids*, **48**, 1-10 (1982).
2. H. Dislich, "New Routes to Multicomponent Oxide Glasses", *Angew. Chem.*, **83**, 363-370 (1971).
3. S. P. Mukherjee, "Sol-Gel Processes in Glass Science and Technology", *Jour. of Non-Crystalline Solids*, **42**, 477-488 (1980).
4. S. Sakka and K. Kamiya, "Glasses from Metal Alcoholates", *Jour. of Non-Crystalline Solids*, **42**, 403-422 (1980).
5. B. E. Yoldas, "Preparation of glasses and ceramics from metal-organic compounds", *Jour. of Mater. Sci.*, **12**, 1203-1208 (1977).
6. L. C. Klein, "Sol-Gel Glass Technology", *The Glass Industry*, Jan. 14-17 (1981).
7. R. Roy, "Gel Route to Homogeneous Glass Preparation", *Jour. of Amer. Cer. Soc.*, **52**, 344 (1968).
8. G. J. McCarthy and R. Roy, "Gel Route to

- Homogeneous Glass Preparation: II, Gelling and Desiccation”, *Jour. Amer. Cer. Soc.*, **54**, 639–640 (1971).
9. “Glass Through Chemical Processing”, Rutgers Special Topics Conference, Mar., 19–21 (1981).
10. “Glass and Glass Ceramics from Gels”, Proceedings of the International Workshop on Glasses and Glass Ceramics from Gels, *Jour. of Non-Crystalline Solids*, **48**, (1) (1982).
11. S. P. Mukherjee, “Sol-Gel Process in Glass Science and Technology”, *Jour. of Non-Crystalline Solids*, **42**, 486 (1980).
12. L. C. Klein, “Sol-Gel Glass Technology”, *The Glass Industry*, Jan., 16–17 (1981).
13. J. D. Mackenzie, “Glass from melts and glasses from gels, a comparison”, *Jour. of Non-Crystalline Solids*, **48**, 1–10 (1982).
14. “System $\text{Al}_2\text{O}_3\text{-SiO}_2$; revised”, Phase Diagrams for Ceramists, *The Amer. Cer. Soc.*, Fig. 314, (1964).
15. K. Kamiya, S. Sakka and N. Tashio, “Preparation of Refractory Oxide Fibers from Metal Alcoholates”, *Yogyo-Kyokai-Shi*, **84**, 36–40 (1976).
16. M. Nogami and Y. Moriya, “Studies on the Formation of Non-crystalline Films from Metal Alkoxides by Means of Infrared Spectroscopy”, *Yogyo-Kyokai-Shi*, **85**, 59–65 (1977).
17. B. E. Yoldas, “Formation of Titania-Silica Glasses by Low Temperature Chemical Polymerization”, *Jour. of Non-Crystalline Solids*, **38 & 39**, 81–86 (1980).
18. D. Decottignies, J. Phalipou and J. Zarzycki, “Synthesis of glasses by hot-pressing of gels”, *Jour. Mater. Sci.*, **13**, 2605–2618 (1978).
19. E. V. Ermolaeva and I. V. Skorobogatova, “Infrared transmission spectra of aluminosilicate melts quenched to the glassy state”, The structure of glass, vol. 7, pp. 30–33, Consultant Bureau, New York (1966).
20. V. A. Kolesova, “Coordination of Al and Ga atom in the glass network”, *ibid.*, pp. 34–36 (1966).